

大氣火箭之原理與應用

王 仁 煙 博士

一、大氣研究上之漏洞

一般科學研究可分五個步驟，即：

1 觀測或測量 (Observation or Measurements)。

2 彙資及通訊 (Data Collection and Communication)。

3 評估與分析 (Evaluation and Analysis)。

4 解釋和歸納 (Interpretation and Conclusion)。

5 結論之發表 (Presentation of Findings)。

應用以上之步驟在大氣科學研究上時，我們就發現有三大問題：

1 儀器偵測之漏洞：即時與空觀測上之問題。

2 大氣環流認識之漏洞：即大氣模型完整之問題。

3 大氣與邊界交感認識之漏洞：即綜合環境研究之問題。

本文在直接解決第一個問題上的一部份，就是利用火箭探測來彌補儀器偵測上之漏洞，而間接對研究後二個問題供給必需之參考資料。

在時與空觀測上除了儀器標準化、精確度、靈敏度、系統化、遙測化等等問題外，而對於近地邊界層、平流層及中氣層均缺乏探測，使用火箭即可增強以上各層大氣之情報，本文旨在報導火箭之性能、原理及其應用於氣象之預告及控制。

二、火箭發射之原則

目前我們在使用兩種火箭，叫做氣象火箭 (

Metrocket) 和大氣火箭 (Sounding Rocket)，前者為探測 20 至 70 公里全射程；後者為 30 至 300 公里全射程，火箭系統包括地面和高空兩種設備：

A、地面設備方面：有發射器 (Launcher)、標槍飛彈 (Dart)、雷達接收機 (Radiosonde Receiver) 及雷達接收機 (Radar Equipment) 等四種，其發射之實施程序如后：(見圖 1 及 2)

1 上昇程序 (The Ascending Sequence) 第一程序為放置飛彈在發射器上之螺旋滑軌 (Helical Rail) 中，在開始發射之兩三秒鐘後，飛彈即可達到一個半公里高空，該時火箭之助昇器 (Booster) 即全部燒燬、分離、下墜。第二程序為飛彈因受強大的動量繼續上升，在兩三分鐘後可達

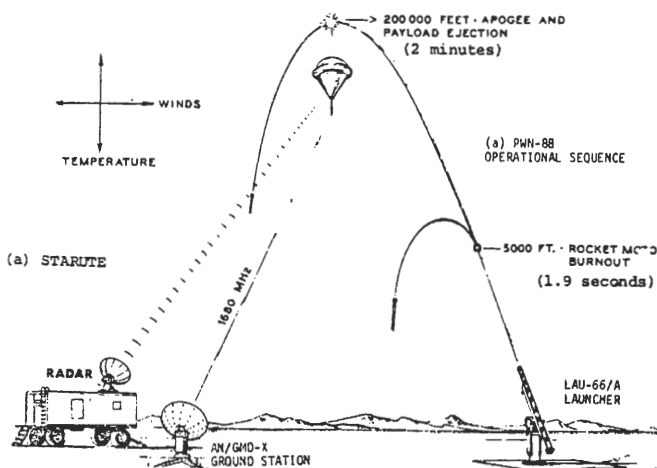


圖 1 氣象火箭發射程序之一

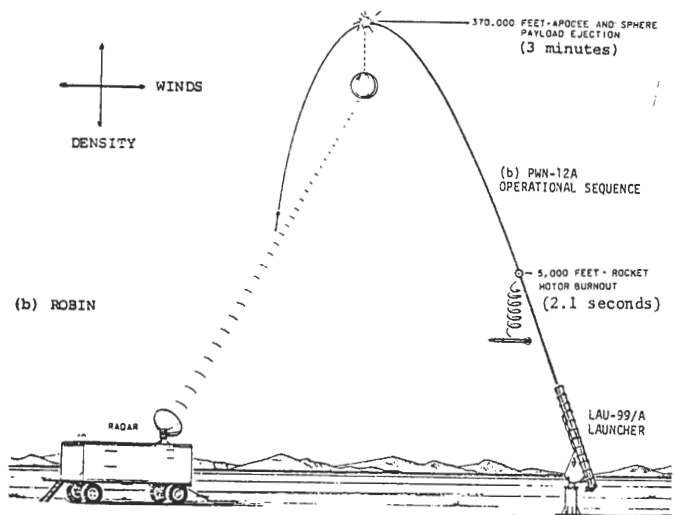


圖 2 氣象火箭發射程序之二

70 公里高度，彼時飛彈中的降落傘即時展開，攜帶探測儀器緩慢下降，而飛彈身 (Dart Body) 亦即下墜。

2 下降程序 (The Descending Sequence) 在降落傘下降中之 15 至 30 分鐘中 (即降落 70 至 20 公里內) 地面的探測接收機開始接收高空氣溫之情報，而地面上之 AN/FPS 雷達亦同時探測降落傘的位置；由其位置的變動，便可決定高空的風向與風速。

B 、高空設備方面：則有兩種降落傘，即火箭氣球傘 (Rocket Balloon Instrument, ROBIN) 及火箭穩定傘 (Stabilization And Retardation Parachute, STARUTE)。(見圖 3 及 4) 前者為一公尺直徑的鋁化美拉反射球 (Aluminized Mylar Corner Reflector) 專供高空風向、速的目標，後者為 4 平方公尺方形的降落傘，可供氣溫及風向、速的測量，氣溫的感應片則為珠型熱阻片 (Bead Thermistor)，經過十餘年克苦的研究，火箭專家才能得到今日可靠的防輻射熱的屏蔽 (Radiation Shield)，因此氣溫之觀測才能準確。至於大氣壓力及大氣密度之測定則由流體靜力方程 (Hydrostatic Equation) 及狀態方程 (Equation of State) 來決定之。

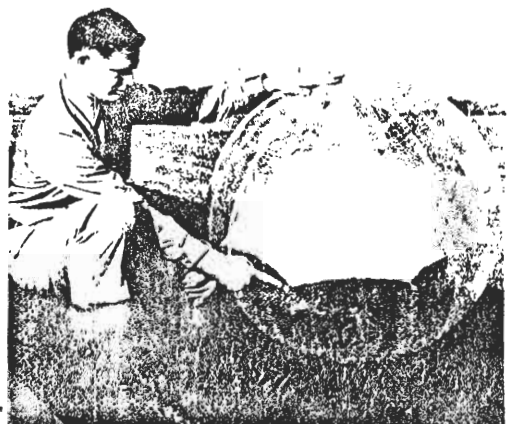


圖 3 火箭氣球傘

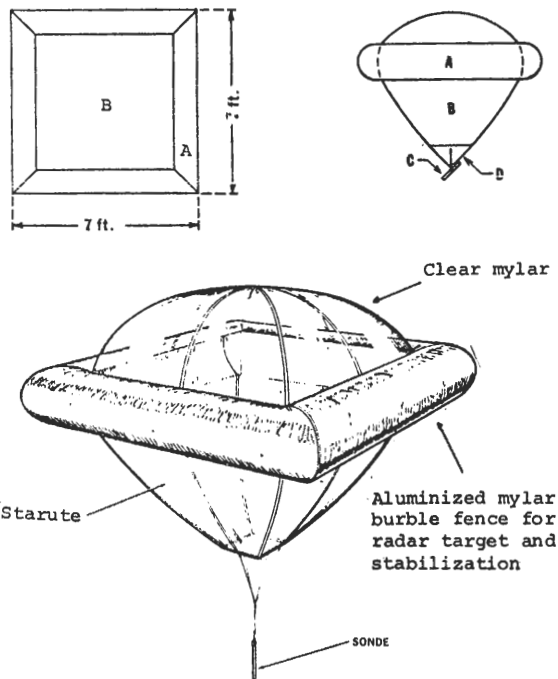


圖 4 火箭穩定傘

三、高空火筒之系統

此系統包括(a)固態推進劑 (Solid Propellant) ；(b)火箭馬達及標槍 (Rocket Motor and Dart) 及(c)火箭探測器 (Rocketsonde) 。(見圖 5)

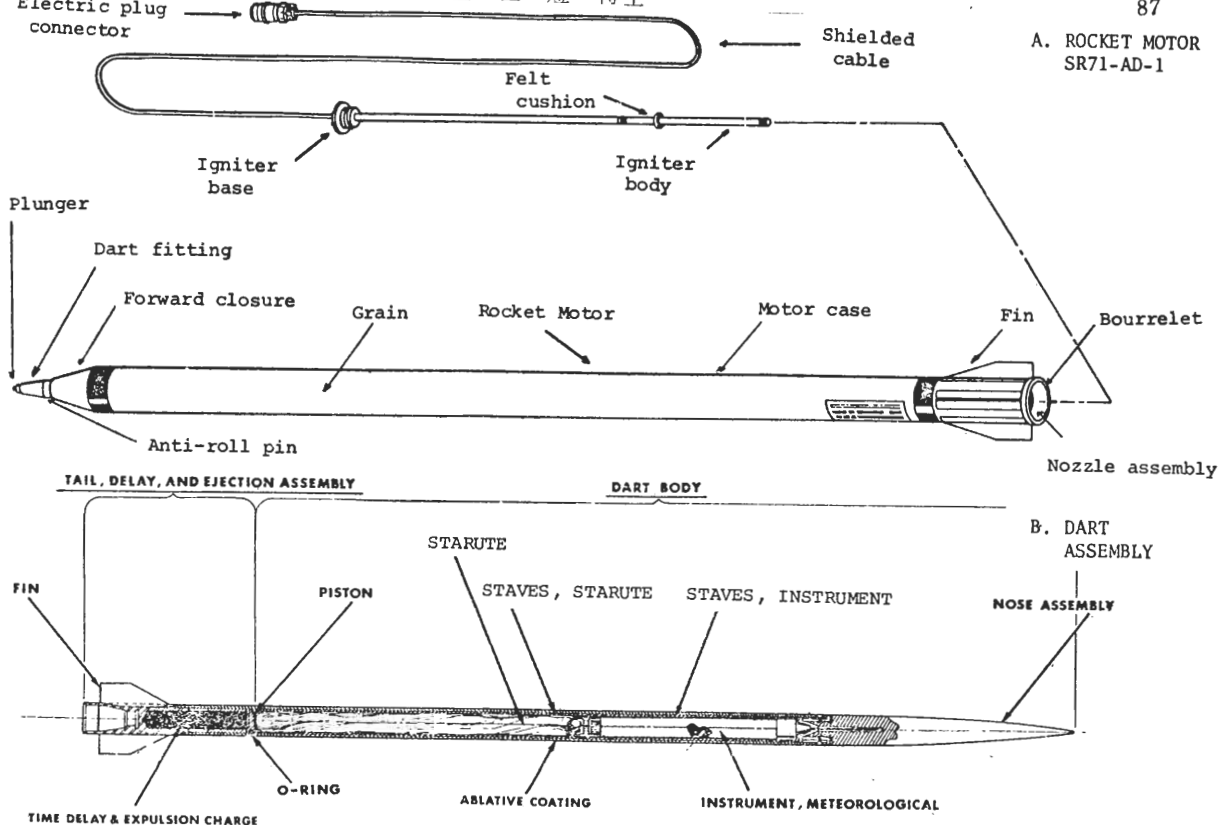


圖 5. 標槍飛彈構造之說明

雖然火箭的推進劑有固體、液體、電能及核能等四種，而高空火箭則僅採用固態推進劑，該劑係膠狀空心的粒體（Grain），燃燒時從內而外，可達 $6,000^{\circ}\text{F}$ 的高溫，此燃燒方式與噴射機不同，因其氧的供給乃取於自備的氧化劑而不是取自空氣的，推進劑裝在鈦製的火箭馬達內，因之可以抵抗高壓與高溫，點火器（Igniter）是用 25 克的電子爆炸燃燒劑（ADC-FL Ignition Material），這種燃燒劑可以保持 8 小時 420°F 氣溫或 30 分

$1,000^{\circ}\text{F}$ 氣溫而不燃燒，但使用 24 伏特及 10 安培的電力則可在 $0.05 \sim 0.15$ 秒中發生燃燒，如此即可發動 2,150 呎磅的推力和 1,531 公尺／秒的速度，或 44.9 公尺／秒的加速度，此巨大的動量可使火箭在 115 秒內達 6.2 公里的高度。

標槍火箭的構造有三部份，即火箭頭、身及尾。
 - 火箭頭（Nose Assembly）係耐熱錘形的構造，上昇時可以保持火箭的速度及走向。火箭身（Dart Body）貯存降落傘及觀測儀（Datasonde）。
 - 火箭尾包括四個直尾翅（Fins）及噴射器（Ejection Assembly）。在噴射器裡則有發射及延遲發射之控制（Delay and Ejection Assembly）。
 - 因之飛彈中之降落傘和觀測器均可及時展開和下降，觀測器（Rocketsonde）掛在降落傘下面，專

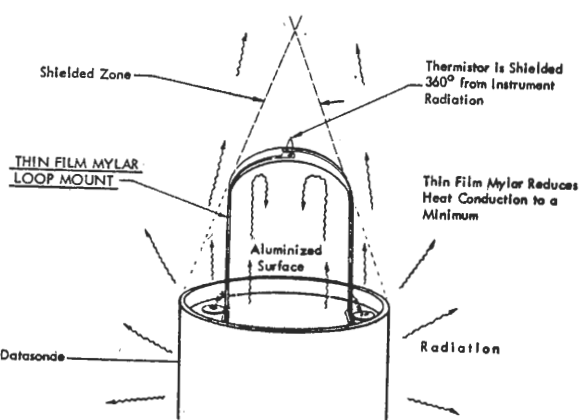
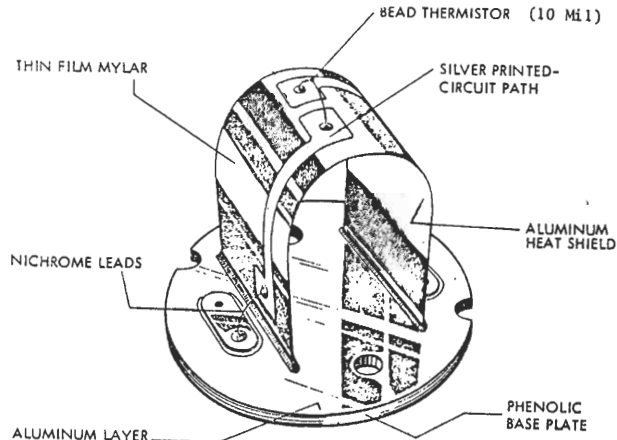


圖 6. 珠型熱阻圈之結構

供大氣溫度探測之用，其準確度受長短波之輻射熱及空氣之動力加熱影響至鉅（見圖 6），因之我們應使用熱平衡（Heat Balance）方程予以處理，方程式(1)之 T_a 為高空之氣溫， T_t 為靈固片之溫度，則

$$T_a = T_t - K_1 w^2 + K_2 w \frac{dT_t}{dz} + K_3 T_t^4 - K_4 \quad \dots(1)$$

內 $K_1 w^2$ 係用以改正動力加熱之增溫，而 w 則是觀測器下降之速度； $K_2 w (\frac{dT_t}{dz})$ 為氣溫反應落後改正項（The Lag Term）； $K_3 T_t^4$ 係輻射冷卻改正項，及 K_4 為輻射及電阻增熱改正項（Radiative Heatings and Ohmic Heating Term），使用了以上公式(1)，我們就可獲得更準確之氣溫探測，尤其在 42 公里的高空。（見圖 7.）

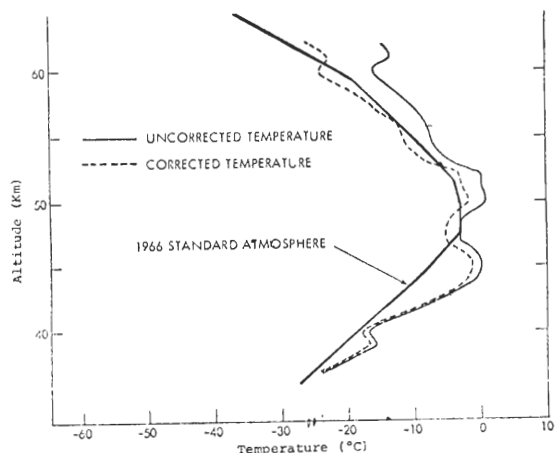


圖 7. 熱阻片溫度紀錄訂正之比較

在風向、速的觀測方面，使用氣球傘（ROBIN）較用穩定傘（STARUTE）為善，因前者裝有角形反射體（Corner Reflector）在落日時其反射力更為強大。在一般情形之下，許多美國火箭站則常使用 AN/FPS-16 雷達或 AN/GMD-4 雷文送（Rawin）來探測氣球傘之方位角、高度角和傾斜距離，其誤差率可在 5 % 至 15 % 之間，高度愈大，其誤差率也愈大，同時風速愈強，其誤差率亦隨之增加。

在大氣密度及氣壓計算上之誤差約為土 1.5 % 至土 6.0 %。應視高度之大小及使用火箭之種類而決定之，愈高則誤差愈大，風速愈強其誤差亦愈高。

四、大氣火箭之系統

大氣火箭（Sounding Rocket）之最遠點（Apogee）均在 70 公里以上，可達 300 公里之高度，視火箭發射力之強弱而定，其探測的範圍亦廣，共有 9 大類，計 60 多種，為節省篇幅起見，本文僅提供 3 種機器，略加解釋如次（詳見下表）：

a、聲波彈（Sonic Grenade）：在 90 公里以下之高度聲波彈可測土 3 °C 及土 5 公尺／秒之氣溫及風速，超過 95 公里高空時則因其可達到地面的能量太弱，故無法測得。

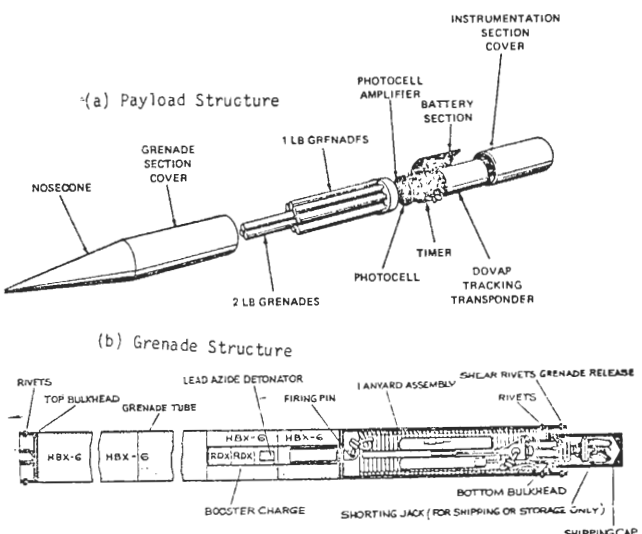


圖 8. 聲波彈之構造

聲波彈的構造（見圖 8）有三，即炸彈室、儀器室和彈頭三部份，炸彈室內裝有 12 隻炸彈，爆炸時彈道攝影機（Ballistic Camera）會收取爆炸之角度，而都卜勒速度及地置器（Doppler Velocity and Position, DOVAP Device）則能紀錄爆炸的時間和斜距（Slant Range），而地面上之五個話筒網（Microphone Array）則繼續收取每次爆炸聲波到達地面的時間和方向，如此即可決定大氣溫度的高低，風向、速的大小並可計算氣壓及大氣密度的變化，話筒的距離應保持 500 公尺以上始可。

儀器室內則有光電器（Photocell）、時控器（Timer）、都卜勒辨證器（DOVAP Transponder）及電池四種。時控器管制彈射的發射及頻率，光電器觀測爆炸時的閃光，都卜勒辨證器接收

地上都卜勒發射機 (DOVAP Transmitter) 之指示，即報告爆炸之時間和斜距，而地面的都卜勒發射機的構造則有調幅 (AM)、調頻 (FM) 及記錄帶記錄器 (Tape Recorder) 三部分，彈頭 (Nose Cone) 的性能與火箭頭的作用相似業已闡明，茲不多贅。

b、畢托靜力管 (Pitot Probe)：此管本為探測大氣的密度與壓力，但可利用計算大氣溫度 (T)，換言之，即

公式(2)中的M爲分子量，R爲通用氣體常數，P及 ρ 係大氣壓力及大氣密度，一般畢托靜力管含有同心管，內管一端開口，外管則予以穿孔，且兩端均封閉，每一管皆與流體壓力計（Manometer）相連，同時使開口一端對準環流，如此則內管可量總壓力（Total Pressure），而外管則可量取靜壓力（Static Pressure），此二壓力之差與流體速度之平方成比例，而火箭畢托靜力管（見圖9）則係固態電子裝置（Solid State）利用拉力測量片（Strain Gages）而測量壓力差。

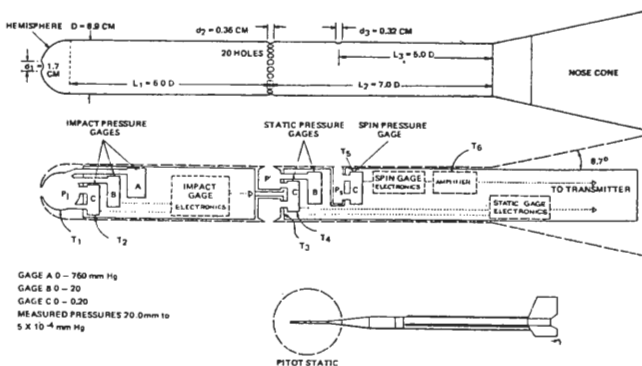
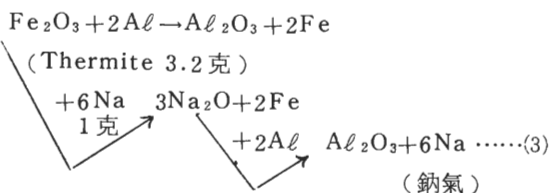


圖 9 畢托靜力管之構造

c、氣跟踪 (Vapor Tracer) 氣跟踪為測90公里以上風向、速的唯一方法，多種氣體可在火箭

上放射，幾分鐘後即可形成化學雲，可在地面上用兩三架遠測攝影機自動拍攝雲的走向，此自動攝影機群應保持 200 公里以上的水平距離，始可得到準確風向、速的資料。例如鈉氣跟蹤 (Sodium Vapor Trails) 可在 110 至 230 公里上使用，鈉氣跟蹤發生器 (Sodium Vapor Generator) 含一蒸氣皿 (Vaporizer) 及一燃燒器 (Thermal Squibs)，前者含有鋁熱劑 (Thermite) 和金屬鈉丸的混合劑，後者為發火器，由計時計 (Timer) 控制之，其熱反應公式及鈉氣的形成可由下式說明：



五、世界火箭合作網

目前世界各國已密切合作成立 30 餘處高空火箭站，內有 60 公里及 90 公里站兩種，而全世界大氣火箭站則僅有數處，前者每日兩次或每週數次發射火箭，每站的處理方式不盡相同。後者則每月一次或每月二次，其頻率至為稀少；高空及大氣火箭網的英名為 CMRN，全名為 The Cooperative Meteorological Rocket Network，用途至廣，對地球物理及天體物理的貢獻至大，在氣象學研究方面則可助噴射氣流、大氣臭氧層及大氣環流的瞭解，并可增進對大氣預報及控制之成功性，目前大氣學者對天氣變化有三學說（School of Thought），最初有極鋒學說，後有高空控制學說，最近復有熱帶控制學說，此三種學說均需要中氣層、平流層及中央層大氣的資料，才能徹底瞭解天氣變化的主動力，從事更準確的天氣預報並作控制大氣的準備，所以大氣火箭的設備可以彌補大氣學研究上的漏洞，目前我國尚無大氣火箭站的設置，盼國人對此共同努力之。

表 大氣火箭之性能

- | | |
|------------------------------------|--|
| 1 Aurora and Airglow | 5 Magnetic and Electric Fields |
| 1A Not used | 5A Electric fields |
| 1B Auroral emissions | 5B Magnetic fields |
| 1C Airglow emissions | 5C Other |
| 1D Auroral/airglow composition | 5X Subdiscipline unknown |
| 1E Atmospheric radiations | |
| 1X Subdiscipline unknown | |
| 2 Atmospheric Physics | 6 Solar Physics |
| 2A Winds and diffusion | 6A Radio (1 mm) |
| 2B Pressure | 6B Infrared (.8-1000) |
| 2C Temperature | 6C Visible (3000-8000 Å) |
| 2D Albedo | 6D Ultraviolet (2000-3000 Å) |
| 2E Planetary radiations | 6E Extreme UV (100-2000 Å) |
| 2F Neutral density | 6F X rays (.001-100 Å) |
| 2G Neutral composition | 6G Gamma rays (.001 Å) |
| 2H Electromagnetic waves | 6X Subdiscipline unknown |
| 2I Acoustics | |
| 2J Meteorological applications | 7 Astronomy |
| 2K Noctilucent clouds | 7A Radio (1 mm) |
| 2L Absorption/scattering | 7B Infrared (.8-1000) |
| 2V Vapor trail or chemical release | 7C Visible (3000-8000 Å) |
| 2X Subdiscipline unknown | 7D Ultraviolet (2000-3000 Å) |
| 2Y Falling sphere | 7E Extreme UV (100-2000 Å) |
| 2Z Grenades | 7F X rays (.001-100 Å) |
| | 7G Gamma rays (.001 Å) |
| | 7X Subdiscipline unknown |
| 3 Ionosphere | 8 Planetology |
| 3A Wave propagation | 8A Micrometeorites |
| 3B Currents and fields | 8B Zodiacal light or genenschein |
| 3C Ion/electron density | 8C Gravity |
| 3D Ion composition | 8D Terrain photographs |
| 3E Ion/electron temperature | 8X Subdiscipline unknown |
| 3F Ion production/recombination | |
| 3G Ionospheric motions | 9 Biology |
| 3X Subdiscipline unknown | 9X Subdiscipline unknown |
| 4 Energetic Particles | 0 Rocket/Satellite Test and Other |
| 4A Galactic or solar cosmic rays | 0A Performance |
| 4B Not used | 0B Communication systems |
| 4C Trapped radiation | 0C Experiment test/development |
| 4D Precipitating particles | 0D Engineering experiments |
| 4X Subdiscipline unknown | 0E Other |
| | 0X Subdiscipline unknown |

(Source : Sounding Rocket Launching, 1973.)